# Einführung in die Geometrie und Topologie Blatt 6

Jendrik Stelzner

3. Juni 2014

Im Folgenden schreiben wir I := [0, 1].

## Aufgabe 6.1: (Freie versus punktierte Schlingen)

(a)

Es sei  $x \in X$  beliebig aber fest. Es ist klar, dass die Inklusion

$$\left\{f \,\middle|\, f: \left(S^1,1\right) \to \left(X,x\right) \text{ ist stetig}\right\} \hookrightarrow \left\{g \,\middle|\, g:S^1 \to X \text{ ist stetig}\right\}$$

wohldefiniert ist. Zusammen mit der kanonischen Projektion

$$\left\{g \,\middle|\, g: S^1 \to X \text{ ist stetig}\right\} \to \mathcal{S}(X), g \mapsto [g]$$

ergibt sich damit eine wohldefinierte Abbildung

$$\left\{f \mid f: \left(S^1, 1\right) \to (X, x) \text{ ist stetig}\right\} \to \mathcal{S}(X), f \mapsto [f].$$

Um zu zeigen, dass diese über  $\pi_1(X,x)$  faktorisiert, genügt es zu zeigen, dass für stetige Abbildungen  $f,g:(S^1,1)\to (X,x)$  mit  $f\simeq g$  rel 1 auch  $f\simeq g$ . Dies ist aber klar.

(b)

**Definition.** Sei X ein topologischer Raum und seien  $v_1,\ldots,v_n:I\to X$  Wege mit  $v_i(1)=v_{i+1}(0)$  für alle  $i=1,\ldots,n-1$ . Dann bezeichnen wir mit  $v_1*\cdots*v_n$  den Weg

$$v_{1} * \cdots * v_{n} : I \to X, t \mapsto \begin{cases} v_{1}(nt) & \text{falls } 0 \leq t \leq \frac{1}{n} \\ v_{2}(nt-1) & \text{falls } \frac{1}{n} \leq t \leq \frac{2}{n} \\ v_{3}(nt-2) & \text{falls } \frac{2}{n} \leq t \leq \frac{3}{n} \\ \vdots & \vdots \\ v_{n}(nt-(n-1)) & \text{falls } \frac{n-1}{n} \leq t \leq 1. \end{cases}$$

Bemerkung 1. Es ist bekannt und klar, dass die "Verknüpfung" \* assoziativ bis auf Homotopie ist. Es ist auch klar, dass für eine zusammenziehbare Schlinge C und einen Weg v mit entsprechenden Anfangs-, bzw. Endpunkt

$$C * v \simeq v$$
 bzw.  $v * C \simeq v$ .

**Lemma 2.** Sei X ein topologischer Raum und seien  $v_1, \ldots, v_n : I \to X$  Wege,  $n \ge 2$ , mit  $v_i(1) = v_{i+1}(0)$  für alle  $i = 1, \ldots, n-1$  und  $v_n(1) = v_1(0)$ . Dann ist

$$v_1 * v_2 * \cdots * v_n \simeq v_2 * \cdots * v_n * v_1.$$

Beweis. Wir fassen die Schlingen  $v_1 * v_2 * \cdots * v_n$  und  $v_2 * \cdots * v_n * v_1$  in natürlicher Weise als Abbildungen

$$f:(S^1,1) \rightarrow (X,v_1(0))$$
 und  $g:(S^1,1) \rightarrow (X,v_2(0))$ 

auf. Dann ist  $g(z)=f(e^{2\pi i/n}z)$  für alle  $z\in S^1$ , eine entsprechende Homotopie also gegeben durch

$$F: S^1 \times I \to X, (z,t) \mapsto f\left(e^{t \cdot 2\pi i/n}z\right)$$

Sei nun erneut  $x \in X$  beliebig aber fest. Es sei

$$\varphi: \pi_1(X, x) \to \mathcal{S}(X)$$

die Vergiss-Abbildung.

Angenommen,  $\varphi$  ist surjektiv. Dann gibt es für jeden Punkt  $y \in X$  eine Schlinge  $f:(S^1,1) \to (X,x)$ , so dass f homotop zur konstanten Schlinge

$$g: S^1 \to X, z \mapsto y$$

ist. Es gibt also eine Homotopie

$$F:S^1\times I\to X$$

mit F(z,0) = f(z) und F(z,1) = y für alle  $z \in S^1$ . Es ist daher

$$\gamma: I \to X, t \mapsto F(1,t)$$

eine stetige Abbildung mit

$$\gamma(0) = F(1,0) = f(1) = x \text{ und } \gamma(1) = F(1,1) = y.$$

Das zeigt, dass X wegzusammenhängend ist.

Angenommen, X ist wegzusammenhängend. Sei dann  $f:I\to X$  eine Schlinge, also insbesondere f(0)=f(1), beliebig aber fest. Da X wegzusammenhängend ist, gibt es einen Weg  $\gamma:I\to X$  von x nach f(0). Es sei  $\gamma^{-1}:I\to X$  der umgekehrte Weg von f(1) nach x, d.h.  $\gamma^{-1}(t)=\gamma(1-t)$  für alle  $t\in I$ . Dann ist

$$g := \gamma * f * \gamma^{-1}$$

eine Schlinge mit g(0) = g(1) = x, und nach Lemma 2 ist

$$g = \gamma * f * \gamma^{-1} \simeq f * \gamma^{-1} * \gamma \simeq f * (\gamma^{-1} * \gamma) \simeq f,$$

da  $\gamma^{-1} * \gamma$  offenbar zusammenziehbar ist. Also ist

$$\varphi([g]_{\pi_1}(X,x)) = [g] = [f].$$

Wegen der Beliebigkeit von f zeigt dies die Surjektivität von  $\varphi$ .

(c)

Auch hier sei  $x\in X$  beliebig aber fest. Es seien  $f,g:(I,\partial I)\to (X,x)$ , so dass  $[f]_{\pi_1(X,x)}$  und  $[g]_{\pi_1(X,x)}$  konjugiert zueinander sind, d.h. dass es eine Schlinge  $h:(I,\partial I)\to (X,x)$  gibt mit

$$[f]_{\pi_1(X,x)} = [h]_{\pi_1(X,x)}[g]_{\pi_1(X,x)}[h]_{\pi_1(X,x)}^{-1} = [h * g * h^{-1}]_{\pi_1(X,x)}.$$

Es ist dann nach Lemma 2

$$\begin{split} [f] &= \varphi([f]_{\pi_1(X,x)}) = \varphi\left(\left[g*h*g^{-1}\right]_{\pi_1(X,x)}\right) = \left[h*g*h^{-1}\right] \\ &= \left[g*h^{-1}*h\right] = [g]. \end{split}$$

Andererseits seien  $f,g:(I,\partial I)\to (X,x)$  Schlingen, so dass  $f\simeq g$ . Dann gibt es eine Homotopie  $F:I\times I\to X$  mit F(t,0)=f(t) und F(t,1)=g(t) für alle  $t\in I$ , wobei zusätzlich

$$F(0,s) = F(1,s)$$
 für alle  $s \in I$ .

Für alle  $s \in I$  definieren wir

$$\gamma_s: I \to X \text{ mit } \gamma_s(t) := F(0, ts).$$

Für alle  $s \in I$ 

$$\gamma_s(0) = F(0,0) = f(0) = x \text{ und } \gamma_s(1) = F(0,s),$$

also  $\gamma_s$  ein Weg von x zu F(0,s). Auch ist

$$\gamma_1(1) = F(0,1) = g(1) = x,$$

also  $\gamma_1$  eine Schlinge mit  $\gamma_1(0)=\gamma_1(1)=x$ . Für alle  $s\in I$  definieren wir auch

$$\gamma_s^{-1}: I \to X, t \mapsto \gamma_s(1-t).$$

Wir betrachten die Homotopie  $G:I\times I\to X$  mit

$$G(t,s) := \begin{cases} \gamma_s \left(\frac{3}{s}t\right) & \text{für } 0 \leq t < \frac{s}{3} \\ F\left(\frac{3t-s}{3-2s},s\right) & \text{für } \frac{s}{3} \leq t \leq 1 - \frac{s}{3} \\ \gamma_s^{-1} \left(\frac{3}{s}(t-1)+1\right) & \text{für } 1 - \frac{s}{3} < t \leq 1. \end{cases}$$

Für alle  $t \in I$  ist

$$G(t,0) = F(t,0) = f(t) \text{ und } G(t,1) = (\gamma_1 * g * \gamma_1^{-1}) (t).$$

Außerdem ist G(0,s)=G(1,s)=x für alle  $s\in I$ . Das zeigt, dass

$$f \simeq \gamma_1 * g * \gamma_1^{-1} \operatorname{rel} \partial I$$
,

also dass

$$[f]_{\pi_1(X,x)} = \left[\gamma_1 * g * \gamma_1^{-1}\right]_{\pi_1(X,x)} = \left[\gamma_1 g \gamma_1^{-1}\right]_{\pi_1(X,x)}.$$

### Aufgabe 6.2:

(a)

Da A und B wegzusammenhängend sind, und  $A\cap B\neq\emptyset,$  ist  $X=A\cup B$  wegzusammenhängend. Insbesondere ist daher

$$\pi_1(X,x) \cong \pi_1(X,x')$$
 für alle  $x,x' \in X$ .

Um zu zeigen, dass  $\pi_1(X,x)$  für alle  $x\in X$  trivial ist, genügt es daher zu zeigen, dass  $\pi_1(X,x)$  für irgendeine  $x\in X$  trivial ist. Sei hierfür  $x\in A\cap B\neq\emptyset$ .

Es sei  $f:(I,\partial I) \to (X,x)$  eine Schlinge. Da A und B offen sind, und  $X=A \cup B$ , ist  $\{f^{-1}(A),f^{-1}(B)\}$  wegen der Stetigkeit von f eine offene Überdeckung von I. Da I ein kompakter metrischer Raum ist, gibt es nach dem Lemma von Lebesgue ein  $\delta>0$ , so dass jede Teilmenge  $M\subseteq I$  mit diam  $M<\delta$  komplett in  $f^{-1}(A)$  oder  $f^{-1}(B)$  enthalten ist. Sei  $m\in\mathbb{N}, m\geq 1$  groß genug, dass die Teilintervalle

$$I_k := \left\lceil \frac{k-1}{m}, \frac{k}{m} \right\rceil \subseteq I \text{ für } k = 1, \dots, m$$

je komplett in  $f^{-1}(A)$  oder  $f^{-1}(B)$  enthalten ist. Dann ist  $f(I_k) \subseteq A$  oder  $f(I_k) \subseteq B$  für alle  $k = 1, \ldots, m$ .

Wir definieren

$$x_k := f\left(\frac{k}{m}\right)$$
 für alle  $k = 0, \dots, m$ .

Inbesondere ist

$$x_0 = x_m = x.$$

Da A,B und  $A\cap B$  wegzusammenhängend sind, gibt es für alle  $k=1,\dots,m-1$ einen Weg

$$\lambda_k:[0,1]\to X$$

von x nach  $x_k$ , der je komplett in A verläuft, wenn  $x_k \in A$ , komplett in B verläuft, wenn  $x_k \in B$ , bzw. komplett in  $A \cap B$  verläuft, wenn  $x_k \in A \cap B$ . Für alle  $k = 1, \ldots, m$  definieren wir außerdem den Weg

$$f_k:[0,1]\to X$$
 mit  $f_k(t):=f\left(rac{k-1}{m}+rac{t}{m}
ight).$ 

Man bemerke, dass Im  $f_k = f(I_k)$  für alle k = 1, ..., m, sowie  $f_k(0) = x_{k-1}$  und  $f_k(1) = x_k$  für alle k = 1, ..., m. Es ist nun offenbar

$$f = f_1 * f_2 * \dots * f_m$$

$$\simeq f_1 * (\lambda_1^{-1} \lambda_1) * f_2 * (\lambda_2^{-1} \lambda_2) * f_3 * \dots * f_{m-1} * (\lambda_{m-1}^{-1} \lambda_{m-1}) * f_m$$

$$\simeq (f_1 \lambda_1^{-1}) * (\lambda_1 * f_2 * \lambda_2^{-1}) * \dots * (\lambda_{m-2} * f_{m-1} * \lambda_{m-1}^{-1}) * (\lambda_{m-1} * f_m)$$

relativ zu x. Nun sind die Wege  $f_1 * \lambda_1^{-1}, \lambda_1 * f_2 * \lambda_2^{-1}, \ldots, \lambda_{m-2} * f_{m-1} \lambda_{m-1}^{-1}$  und  $\lambda_{m-1} * f_m$  jeweils Schleifen, die von x ausgehen, und sich jeweils komplett in A oder B befinden. Daher sind sie alle zusammenziehbar relativ zu x, denn A und B sind einfach zusammenhängend. Daher ist auch f relativ zu x zusammenziehbar. (Man fügt die einzelnen Homotopien einfach passend zusammen.)

Aus der Beliebigkeit von f folgt, dass  $\pi_1(X, x)$  trivial ist.

(b)

Es sei n > 1. Wir schreiben  $S^n = A \cup B$  mit

$$A = \{(x_1, \dots, x_{n+1}) \in S^n \mid x_{n+1} \neq -1\} \text{ und}$$
  
$$B = \{(x_1, \dots, x_{n+1}) \in S^n \mid x_{n+1} \neq 1\}.$$

A und B sind offenbar offen in  $S^n$ , und durch die entsprechenden stereografischen Projektionen wissen wir, dass  $A\cong\mathbb{R}^n$  und  $B\cong\mathbb{R}^n$ . Da  $\mathbb{R}^n$  offenbar einfach zusammenhängend ist, sind es daher auch A und B (wegen der Funktorialität von  $\pi_1$ ). Offenbar ist  $A\cap B\neq\emptyset$  wegzusammenhängend (hier benutzen wir, dass n>1). Nach Aufgabenteil (a) ist deshalb auch  $S^n$  einfach zusammenhängend.

#### Aufgabe 6.3:

Es sei  $(x,x') \in X \times X'$  beliebig aber fest. Da  $p:E \to X$  eine Überlagerung ist, gibt es eine Umgebung  $U \subseteq X$  von x, einen diskreten Raum D und einen Homöomorphismus  $\phi: p^{-1}(U) \to U \times D$ , so dass das Diagramm in Abbildung 1 kommutiert.

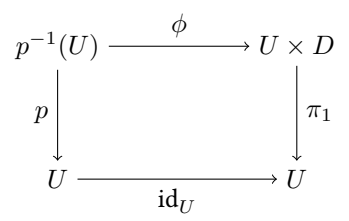


Abbildung 1:  $p:E\to X$  ist eine Überlagerung.

Analog gibt es, da  $p': E' \to X'$  eine Überlagerung ist, eine Umgebung  $U' \subseteq X'$  von x', einen diskreten Raum D' und einen Homöomorphismus  $\phi': p'^{-1}(U) \to U' \times D'$ , so dass das Diagramm in Abbildung 2 kommutiert.

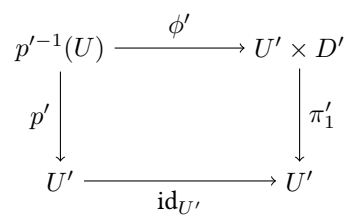


Abbildung 2:  $p': E' \to X'$  ist eine Überlagerung.

Es ist nun  $U \times U' \subseteq X \times X'$  eine Umgebung von (x, x') in  $X \times X'$  mit

$$(p \times p')^{-1} (U \times U') = p^{-1}(U) \times p'^{-1}(U').$$

Die Homö<br/>omorphismen  $\phi$  und  $\phi'$  liefern uns einen Homö<br/>omorphismus

$$\tilde{\phi}: p^{-1}(U) \times p'^{-1}(U') \to (U \times D) \times (U' \times D') \cong (U \times U') \times (D \times D').$$

$$(p \times p')^{-1}(U) \xrightarrow{\tilde{\phi}} (U \times U') \times (D \times D')$$

$$p \times p' \downarrow \qquad \qquad \downarrow \tilde{\pi}_1$$

$$U \times U' \xrightarrow{id_{U \times U'}} U \times U'$$

Abbildung 3:  $p': E' \to X'$  ist eine Überlagerung.

Zusammen liefert dies das kommutative Diagramm in Abbildung 3. Wegen der Beliebigkeit von  $(x, x') \in X \times X'$  zeigt dies, dass

$$p \times p' : E \times E' \to X \times X'$$

eine Überlagerung ist. Es ist auch klar, dass sich die Blätterzahl von  $(x,x') \in X \times X'$ als Produkt der Blätterzahl von x und der Blätterzahl von x' ergibt.

(a)

Aus der Definition von  $Y \times_X E$  erhalten wir das kommutative Diagramm in Abbildung 4.

$$\begin{array}{ccc}
Y \times_X E & \xrightarrow{\pi_1} & Y \\
\pi_2 & & \downarrow f \\
E & \xrightarrow{\eta} & X
\end{array}$$

Abbildung 4: Das Faserprodukt  $Y \times_X E$ .

Se  $y\in Y$  beliebig aber fest. Da  $p:E\to X$  eine Überdeckung ist, gibt es eine Umgebung  $U\subseteq X$  von  $f(y)\in X$ , einen diskreten Raum D und einen Homöomorphismus  $\phi:p^{-1}(U)\to U\times D$ , so dass das Diagramm in Abbildung 5 kommutiert.

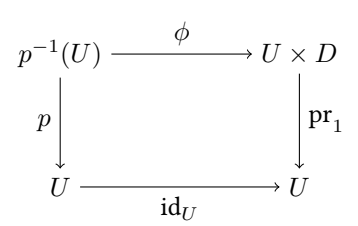


Abbildung 5:  $p:E\to X$  ist eine Überlagerung.

Wir erweitern das Diagramm in Abbildung 5 zu dem Diagramm in Abbildung 6. Dabei wollen wir den Homöomorphismus  $\phi$  zu einem Homöomorphismus  $\Phi$  liften.

$$\begin{array}{c|c} \pi_2^{-1}(p^{-1}(U)) & -- \overset{\Phi}{---} & f^{-1}(U) \times D \\ \hline \pi_2 & & & \downarrow f \times \operatorname{id}_D \\ p^{-1}(U) & \xrightarrow{\phi} & U \times D \\ \hline p & & \downarrow \operatorname{pr}_1 \\ U & \xrightarrow{\operatorname{id}_U} & U \end{array}$$

Abbildung 6:  $p: E \to X$  ist eine Überlagerung.

Hierfür definieren wir

$$\Phi: \pi_2^{-1}(p^{-1}(U)) \to f^{-1}(U) \times D, (y, e) \mapsto \left(y, \operatorname{pr}_2 \phi(e)\right),$$

wobei  $\operatorname{pr}_2:U\times D\to D$  die kanonische Projektion bezeichnet.  $\Phi$  ist wohldefiniert, denn für  $(y,e)\in\pi_2^{-1}(p^{-1}(U))$  ist

$$f(y) = p(e) = p\pi_2(y, e) \in U.$$

Außerdem definieren wir

$$\Psi: f^{-1}(U) \times D \to \pi_2^{-1}(p^{-1}(U)), (y, d) \mapsto (y, \phi^{-1}(f(y), d)).$$

 $\Psi$  ist wohldefiniert, denn für  $(f,d) \in f^{-1}(U) \times D$  ist

$$p\left(\pi_2\left(\left(y,\phi^{-1}(f(y),d)\right)\right)\right) = p\left(\phi^{-1}(f(y),d)\right) = \operatorname{pr}_1((f(y),d)) = f(y) \in U,$$

Es ist klar, dass  $\Phi$  und  $\Psi$  stetig sind.  $\Phi$  und  $\Psi$  sind invers zueinander. Für  $(y,e)\in\pi_2^{-1}(p^{-1}(U))$  ist

$$\Psi\Phi(y,e) = \Psi\left(y,\operatorname{pr}_2\phi(e)\right) = \left(y,\phi^{-1}(f(y),\operatorname{pr}_2\phi(e))\right),$$

wobei

$$e = \phi^{-1}\phi e = \phi^{-1}\left(p(e),\operatorname{pr}_2\phi(e)\right) = \phi^{-1}\left(f(y),\operatorname{pr}_2\phi(e)\right).$$

Für  $(y,d) \in f^{-1}(U) \times D$  ist

$$\Phi\Psi(y,d) = \Phi\left(y,\phi^{-1}(f(y),d)\right) = \left(y, \operatorname{pr}_2 \phi \phi^{-1}(f(y),d)\right) = (y,d).$$

Also ist  $\Phi$  ein Homö<br/>omorphismus. Das Diagramm in Abbildung 6 kommutiert auch, denn für  $(y,e)\in\pi_2^{-1}(p^{-1}(U))$  ist

$$\begin{split} \phi\pi_2(y,e) &= \phi(e) = (p(e),\operatorname{pr}_2\phi(e)) = (f(y),\operatorname{pr}_2\phi(e)) \\ &= (f\times\operatorname{id}_D)(y,\operatorname{pr}_2\phi(e)) = (f\times\operatorname{id}_D)\Phi(y,e). \end{split}$$

Wegen der Kommutativität des Diagramms in Abbildung 4 ist  $p\pi_2=f\pi_1$ , also

$$\pi_2^{-1}(p^{-1}(U)) = \pi^{-1}(f^{-1}(U)).$$

$$\begin{array}{c|c} \pi_1^{-1}(f^{-1}(U)) & \xrightarrow{\Phi} & f^{-1}(U) \times D \\ \\ \pi_1 & & \downarrow \tau_1 \\ \\ f^{-1}(U) & \xrightarrow{\operatorname{id}_{f^{-1}(U)}} & f^{-1}(U) \end{array}$$

Abbildung 7:  $\pi_1: Y \times_X E \to Y$  ist eine Überlagerung.

Da f stetig ist und U eine Umgebung von f(y), ist  $f^{-1}(U)$  eine Umgebung von y. Damit erhalten wir das Diagramm in 7. Dieses kommutiert, denn für alle  $(y,e) \in \pi_1^{-1}(f^{-1}(U))$  ist

$$\pi_1((y,e)) = y = \tau_1((y, \operatorname{pr}_2 \phi(e))) = \tau_1 \Phi((y,e)).$$

Wegen der Beliebigkeit von  $y \in Y$  zeigt dies, dass  $\pi_1: Y \times_X E \to Y$  eine Überlagerung ist. Aus der obigen Konstruktion geht direkt hervor, dass die Blätterzahl von  $y \in Y$  bezüglich dieser Überlagerung der Blätterzahl von  $f(y) \in X$  bezüglich der Überdeckung  $p: E \to X$  entspricht.

### Aufgabe 6.4:

Wir bemerken zunächst, dass für jeden topologischen Raum E und jede Gruppe G, die stetig (von rechts) auf X wirkt, für jedes  $g \in G$  die Abbildung

$$\pi_q: E \to E, e \mapsto eg$$

ein Homö<br/>omorphismus ist, denn  $\pi_q$  ist bekanntermaßen bijekitv, und

$$\pi_q^{-1} = \pi_{q^{-1}}$$

ist ebenfalls stetig.

(a)

Ist G=1, so ist nichts zu zeigen. Ansonsten seien  $e_0\in E$  und  $g\in G-\{1\}$  beliebig aber fest

Da  $\pi_q: E \to E$  stetig ist, ist auch die Abbildung

$$f: E \to E \times E, (e, \mapsto eg) = (\mathrm{id}_E(e), \pi_q(e))$$

stetig. Da  $g \neq 1$  und G frei auf E wirkt, ist  $\operatorname{Im} f \cap \Delta = \emptyset$ , wobei  $\Delta \subseteq E \times E$  die Diagonale bezeichnet. Da E Hausdorff ist, ist  $\Delta$  abgeschlossen in  $E \times E$ , also  $E \times E - \Delta$  offen in  $E \times E$ . Da  $(e_0, e_0 g) \in \operatorname{Im} f \subseteq E \times E - \Delta_E$  gibt es deshalb  $U, V \subseteq E$  offen mit  $(e_0, e_0 g) \in U \times V \subseteq E \times E - \Delta$ . Inbesondere ist  $U \times V \cap \Delta = \emptyset$ , also  $U \cap V = \emptyset$ .

Da  $\pi_{g^{-1}}$  ein Homö<br/>omorphismus ist, ist  $\pi_{g^{-1}}(V)=Vg^{-1}$  offen, und da  $e_0g\in V$  ist  $e_0\in Vg^{-1}$ . Wir setzen

$$W = U \cap Vg^{-1}.$$

W ist eine offene Umgebung von  $e_0$  mit

$$\begin{split} W \cap Wg &= \left(U \cap Vg^{-1}\right) \cap \left(U \cap Vg^{-1}\right)g \\ &= U \cap Vg^{-1} \cap Ug \cap V \subseteq U \cap V = \emptyset, \end{split}$$

also  $W \cap Wg = \emptyset$ .

Wir finden also für jedes  $g \in G - \{1\}$  eine offene Umgebung  $U_g$  von  $e_0$  mit

$$U_q \cap U_q g = \emptyset.$$

Wir setzen

$$U := \bigcap \{ U_g \mid g \in G - \{1\} \}.$$

Da G endlich ist, ist auch U ein offene Umgebung von  $e_0$ , und für alle  $g \in G - \{1\}$  ist

$$U \cap Ug \subseteq U_q \cap U_qg = \emptyset$$
,

also  $U \cap Ug = \emptyset$ . Wegen der Beliebigkeit von  $e_0 \in E$  zeigt dies, dass G eigentlich diskontinuierlich auf E wirkt.

Fun fact: Die Aufgabe lässt sich auch auf intuitive Weise mithilfe von Netzen lösen. Wir setzen

$$D := \{ U \subseteq E \mid U \text{ ist eine Umgebung von } E \}$$

und ordnen D via

$$U \ge V \Leftrightarrow U \subseteq V$$
,

und erhalten so eine geordnete Menge. Ist  $U\cap Ug=\emptyset$  für jedes  $U\in D$ , so gibt es für jedes  $U\in D$  Elemente  $x_D,y_D\in D$  mit  $y_U=x_Ug=\pi_g(X_U)$ . Für die beiden Netze  $(x_U)_{U\in D}$ o und  $(y_U)_{U\in D}$  ist klar, dass  $x_u\to e_0$  und  $y_0\to e_0$ . Da  $\pi_g$  stetig ist, ist deshalb auch

$$y_U = x_U g = \pi_g(x_U) \to \pi_g(e_0) = e_0 g.$$

Da E Hausdorff ist, sind Grenzwerte von Netzen eindeutig. Daher ist  $e_0 = e_0 g$ . Dies steht wegen  $g \neq 1$  im Widerspruch dazu, dass G frei auf E wirkt. Also muss es ein  $U \in D$  geben mit  $U \cap Ug = \emptyset$ .

(b)

Es sei  $p: E \to E/G$  die kanonische Projektion. Seien  $y_0 \in E/G$  und  $x_0 \in E$  mit  $p(x_0) = y_0$  beliebig aber fest. Da G eigentlich diskontinuierlich auf E wirkt, gibt es eine offene Umgebung U von  $x_0$ , so dass  $U \cap Ug = \emptyset$  für alle  $g \in G - \{1\}$ .

Wir bemerken, dass für  $g_1,g_2\in G$  mit  $g_1\neq g_2$  auch  $Ug_1\cap Ug_2=\emptyset$ , da

$$\pi_{g_1^{-1}}(Ug_1 \cap Ug_2) = U \cap Ug_2g_1^{-1} = \emptyset.$$

Für V := p(U) ist daher

$$p^{-1}(V) = p^{-1}(p(U)) = U^{\text{sat}} = UG = \bigcup_{g \in G} Ug.$$

Dabei ist klar, dass

$$\bigcup_{g \in G} Ug \cong \coprod_{g \in G} Ug \cong \coprod_{g \in G} U \cong U \times G,$$

wobei wir G als diskreten Raum auffassen. (Man beachte, dass  $\pi_g$  einen Homöomorphismus  $U\cong Ug$  induziert. Der Homöomorphismus  $U\times G\cong \bigcup_{g\in G} Ug$  durch

$$\xi: U \times G \to \bigcup_{g \in G} Ug, (u,g) \mapsto ug$$

gegeben.

Wir bemerken, dass sich p zu einem Hömomorphismus  $\tilde{p}:U\cong V$  beschränkt: Die Surjektivität und Stetigkeit sind klar. Die Injektivität von  $\tilde{p}$  ergibt sich daraus, dass für  $x,x'\in U$  mit  $\tilde{p}(x)=\tilde{p}(x')$  ein  $g\in G$  existiert mit x'=xg, wegen  $U\cap Ug'=\emptyset$  für  $g'\in G-\{1\}$  also g=1 und damit x'=x ist.  $\tilde{p}$  ist offen, denn für eine offene Teilmenge  $W\subseteq U$  ist W auch offen in E, da E0 offen ist, also auch

$$\pi^{-1}(p(W)) = WG = \bigcup_{g \in G} Wg$$

offen in E, und mati  $p(W) = \tilde{p}(W)$  offen in E/G, also auch offen in p(V). Damit ist auch

$$\bigcup_{g \in G} Ug \cong V \times G$$

durch den Homöomorphismus

$$\zeta: V \times G \to \bigcup_{g \in G} Ug, (v,g) \mapsto \tilde{p}^{-1}(v)g.$$

Damit ergibt sich insgesamt das kommutierende Diagramm in Abbildung 8. (Das Dia-

$$p^{-1}(U) \xrightarrow{\zeta^{-1}} V \times D$$

$$p \downarrow \qquad \qquad \downarrow \pi_1$$

$$V \xrightarrow{id_V} V$$

Abbildung 8:  $p: E \to E/G$  ist eine Überlagerung

gramm kommutiert, da für alle  $(v,g) \in V \times G$ 

$$\pi_1(v,g) = v$$

und

$$p\zeta(v,g) = p(\tilde{p}^{-1}(v)g) = p(\tilde{p}^{-1}(v)) = \tilde{p}(\tilde{p}^{-1}(v)) = v,$$

also  $\pi_1 = p\zeta$  und somit  $\pi_1\zeta^{-1} = p$ .)

Aus der Beliebigkeit von  $y_0 \in E/G$  folgt, dass  $p: E \to E/G$  eine Überlagerung ist. Die Blätterzahl ist offenbar |G|.

(c)

Die Gruppe  $G = \mathbb{Z}/2 = \{1, -1\}$  wirkt stetig von rechts auf  $S^n$  via

$$x.1 = x$$
 und  $x.(-1) = -x$  für alle  $x \in S^n$ .

Die induzierte Äquivalenzrelation  $\sim$  auf  $S^n$  identifiziert jeden Punkt mit seinem Antipodenpunkt. Da G endlich ist, die offenbar stetig und frei auf dem Hausdorff-Raum  $S^n$  wirkt, ist die Gruppenwirkung nach Aufgabenteil (a) eigentlich diskontinuierlich. Nach Aufgabenteil (b) ist daher die Quotientenabbildung  $p:S^n\to S^n/\sim$  eine zweiblättrige Überlagerung. Da diese der Quotientenabbildung  $S^n\to \mathbb{R}P^n$  entspricht, zeigt dies die Aussage.